

ОБ ОДНОМ КЛАССЕ НЕФАКТОРИЗУЕМЫХ ПОПРАВОК К ФОРМФАКТОРУ ПИОНА

A.C. Горский. M.B. Терентьев

Показано, что из-за аналитической структуры фейнмановских диаграмм следует за-
нуление глюонных поправок в глауберовской области к асимптотике формфактора
пиона.

Асимптотика электромагнитного формфактора пиона $F(Q^2)$ (см. 1 – 3) вычисляется с помощью операторного разложения (OPE):

$$(p + p')_\nu F(Q^2) \rightarrow \sum_{n, m=0}^{\infty} T_{m, n}^\nu(Q^2) \tilde{c}_m^* c_n, \quad Q^2 \rightarrow \infty \quad (1)$$

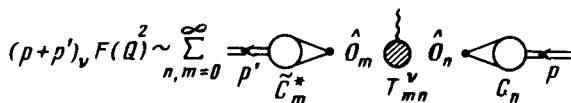


Рис. 1

(см. также рис. 1), где $c_n = \langle 0 | \hat{O}_n | \pi(p) \rangle$ – матричные элементы локальных операторов твиста 2, связанных с аксиальным током, $T_{m, n}^\nu$ – коэффициентная функция ("жесткий блок"), которая определяется моментами от кварк-глюонной диаграммы на рис. 2 по до-
ле импульса x/x' кварка в начальном (конечном) состоянии, $Q^2 = -(p' - p)^2 > 0$. Под-

робнее об ОРЕ в виде (1) см. ⁴, ⁵. Для справедливости ОРЕ необходимо, чтобы отсутствовали нефакторизуемые поправки типа, указанного на рис. 3. Мы укажем причины, по которым класс поправок такого типа действительно не существен.

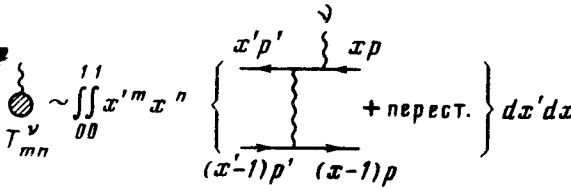


Рис. 2

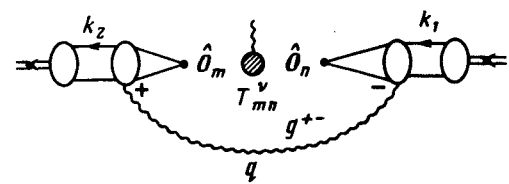


Рис. 3

В дальнейшем можно пренебречь массой пиона и считать $p = (p_{\perp}, 0, \vec{0}_1)$, $p' = (0, p'_+, \vec{0}_1)$ (при этом $p_{\perp} = p'_+ = Q/\sqrt{2}$). Используется фейнмановская калибровка. На рис. 3 глюон должен быть продольным (на рис. указаны матрица плотности глюона и поляризационные индексы, относящиеся к левому и правому блоку). При этом возникает большой кинематический фактор $Q^2 \sim p_{\perp} p'_+$ (множитель p_{\perp} — от правого блока, p'_+ — от левого). Пусть:

$$q = \alpha p + \beta p' + q_{\perp}, \quad k_j = x_j p + y_j p' + k_{\perp j}. \quad (2)$$

В основной области интегрирования в ОРЕ: $x_1 = 1$, $y_1 \sim k_{\perp 1}^2 \ll 1$; $y_2 \sim 1$, $x_2 \sim (k_{\perp 2}^2/Q^2) \ll 1$. При интегрировании по глюону: $q_{\perp}^2 \ll Q^2/Q^2$. Для α и β существуют следующие возможности: 1) $\alpha \sim 1$, $\beta \sim (q_{\perp}^2/Q^2)$ или $\beta \sim 1$, $\alpha \sim (q_{\perp}^2/Q^2)$. Эта область дает факторизуемый вклад ('коллинеарные' логарифмы), который содержится в ОРЕ. 2) $\alpha \ll 1$, $\beta \ll 1$ при $Q^2 \alpha \beta = -q_{\perp}^2$. Это дваждылогарифмическая область; вклад от нее по-видимому сокращается из-за бесцветности пиона (см. ^{1-3, 4}; факт сокращения проверен до двухпетлевых поправок включительно). Других источников логарифмических поправок от глюона q нет.

Но, в принципе, имеется возможность получения больших нефакторизуемых поправок в том случае, когда интеграл по q не логарифмичен, но сосредоточен в области $q_{\perp}^2 \sim m^2$ ($m \sim 1$ ГэВ — в дальнейшем характерный адронный масштаб). При этом (см. ниже): $\alpha \sim \beta \sim (m^2/Q^2)$, т. е. $q^2 = q_{\perp}^2$. Будем называть эту область глауберовской (ср. ^{6, 7}). В ней интеграл по q , отвечающий рис. 3 пропорционален

$$I \sim \int_{-\infty}^{\infty} Q^2 d\alpha L(Q^2 \alpha, q_{\perp}, k_{\perp i} \dots) \frac{d^2 q_{\perp}}{q_{\perp}^2} \int_{-\infty}^{\infty} Q^2 d\beta R(Q^2 \beta, q_{\perp}, k_{\perp j} \dots), \quad (3)$$

где L и R — функции, связанные с левым и правым блоками на рис. 3. Один фактор Q^2 в (3) связан с фазовым объемом ($d^4 q = \frac{Q^2}{2} d\alpha d\beta d^2 q_{\perp}$), другой — кинематический, из-за продольности глюона. Интеграл I сходится при $q_{\perp} \rightarrow 0$, так как $R \sim (q_{\perp}/k_{\perp})$ при $q_{\perp} \rightarrow 0$ из-за калибровочной инвариантности (то же справедливо для L). При $q_{\perp} \sim k_{\perp j} \sim m$ и $Q^2 \alpha \sim Q^2 \beta \sim m^2$ интеграл I не содержит никакой параметрической малости.

Однако, мы покажем далее, что интегралы по α и β обращаются в нуль по аналитическим соображениям. Рассмотрим для определенности интеграл по β . При излучении глюона непосредственно из кварковой линии, примыкающей к жесткому блоку (см. рис. 4) вклад

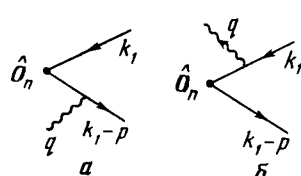


Рис. 4

отдельной диаграммы существует (определяется полувычетом в соответствующем полюсе), но происходит сокращение вкладов рис. 4, а и б. Интерпретация этого факта: пара кварков, родившаяся в жестком блоке за времена $\sim 1/Q$ не взаимодействует в глауберовской области из-за малого размера и бесцветности системы.

В том случае, когда перед излучением глюона q кварки обмениваются глюоном q_1 при $q_{\perp 1} \sim m$, то интеграл по β_1 отличен от нуля лишь при $(x_1 - 1) < \alpha_1 < x_1$ (см. рис. 5). Но при выполнении этого условия все полюса по β лежат по одну сторону вещественной оси в комплексной плоскости β и интеграл по β зануляется. Интерпретация этого факта: еще до стадии адронизации одна пара кварков увеличила свой размер и приобрела необходимые мультипольные моменты, но за это время две пары относящиеся соответственно к начальному и конечному пиону успели разойтись и не могут провзаимодействовать.

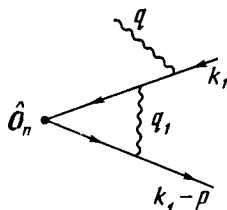


Рис. 5

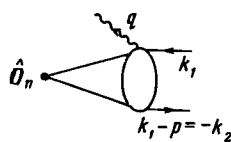


Рис. 6

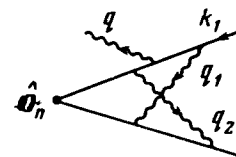


Рис. 7

Такое зануление интеграла по β является общим эффектом. Интегрирование точной амплитуды R (см. рис. 6) происходит при фиксированных $s = (k_1 + k_2)^2$ и $q^2 \approx q_{\perp}^2 < 0$. Но меняются виртуальность $(p - q)^2 = q_{\perp}^2 - Q^2\beta$, а также $t = (q - k_1)^2 \sim q_{\perp}^2 - Q^2 x_1 \beta$ и $u = (q - k_2)^2 \sim q_{\perp}^2 - Q^2 x_2 \beta$. При $t < 0$ отрицательны также u и $(p - q)^2$, поэтому можно ожидать, что в комплексной плоскости t нет левого разреза, поэтому возможно замыкание контура на бесконечность, что приводит к занулению интеграла. Поскольку обращение в нуль происходит как следствие аналитической структуры, то вместо вычисления амплитуды на рис. 6, достаточно установить этот факт для диаграммы на рис. 7, имеющей все типы особенностей, встречающиеся в точной амплитуде. Мы проверили, что такое зануление действительно имеет место для диаграммы на рис. 7, также как для всех других диаграмм одно- и двухпетлевого приближения. (Анализ сводится к выяснению расположения полюсов по β , β_1 , β_2 и аналогичен рассмотрению простого случая, соответствующего рис. 5). Поскольку в анализе существенны только аналитические свойства, то можно утверждать, что обращение интеграла (3) в ноль является следствием причинности.

Явление аналогичное рассмотренному в данной статье, отмечалось в работе⁸ в связи с процессом инклузивного рождения адрона в $e^+ e^-$ -аннигиляции.

Авторы благодарны Я.И.Азимову за полезные замечания.

Литература

- Черняк В.Л., Житницкий А.Р., Сербо В.Г. ЖЭТФ, 1977, 26, 760.
- Ефремов А.В., Радюшкин А.В. ТМФ, 1980, 42, 147.
- Lepage G., Brodsky S. Phys. Rev., 1980, D22, 2157.
- Черняк В.Л. Докторская диссертация, Новосибирск, ИЯФ СО АН СССР, 1982.
- Гешкенбейн Б.Б., Терентьев М.В. ЯФ, 1984, 39, 873.
- Bodwin G., Brodsky S. Lepage P. Phys. Rev. Lett., 1981, 47, 1799.
- Sachrajda C. SLAC-PUB-3181, 1983. Invited talk at 14 Int. Symp. on Multiparticle Dynamics, Lake Tahoe, 1983.
- Рыскин М.Г., Докшицер Ю.Л. Письма в ЖЭТФ, 1981, 33, 288.